高速度カメラを用いたコンクリートのひび割れ進展評価

東京工業大学大学院 学生会員 〇梁田 真広 東京工業大学大学院 正会員 渡辺 健 東京工業大学大学院 フェロー 二羽 淳一郎

1. はじめに

本研究では, 従来計測が困難であった載荷中コンク リートのひび割れ進展を,1秒間に数十万枚の画像を撮 影可能な高速度カメラを用いて把握する. コンクリー トの引張強度 f.を評価する割裂引張試験として、JIS A 1113 では**図-1(a)**に示す方法を規定している. 一方, ASTM C496-66 では、載荷点の応力集中によるひび割れ 発生を防ぐため、図-1(b)のように供試体と載荷板間へ の分布板の挿入を規定している. そこで, ラワンベニ ヤを分布板として用いて 2 種類の試験方法を検証し、 町田1)の得た結論を確認した.また、供試体の厚さやモ デル骨材の配置とひび割れ発生位置の関連を、図-1(a) による方法で試験し、検証した.一軸圧縮試験では、 供試体と載荷板間の摩擦とひび割れ進展の関連が指摘 されている²⁾. そこで, **図-2(a)(b)**に示すような一軸圧 縮試験におけるひび割れ進展を観察すると同時に、算 定される圧縮強度とひび割れ進展性状を比較した.

2. 割裂引張試験のひび割れ進展評価

2-1. 実験概要

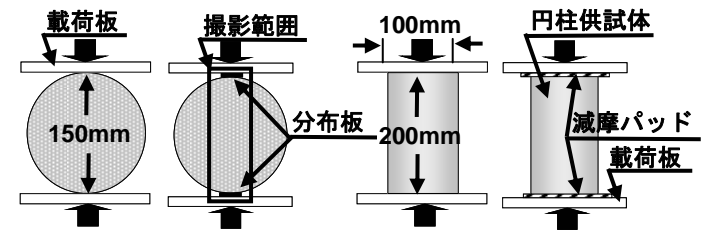
撮影速度は、90,909fps(fps:1 秒間に記録可能な画像の枚数)である。表-1 に、使用したコンクリートの示方配合を示す。圧縮強度 f'c=31.7N/mm²の N、およびf'c=89.1N/mm²の H としたコンクリート供試体を用い、分布板なしを N150、H150、分布板ありを N'150、H'150(いずれもф150×150mm)、および薄型の NP(ф150×25mm)と称すこととした。また、図-3 に示すように、モデル骨材として異形鉄筋 D16(降伏強度 386N/mm²、弾性係数 200kN/mm²)を 1~3 個埋設したф150×25mmのセメントペースト(水セメント比 W/C=50%)の供試体(CP1-CP3)を作製した。図-4 に、高速度カメラの設置位置を示す、NPと CP1-CP3 は分布板を用いずに載荷した。

2-2. 実験結果

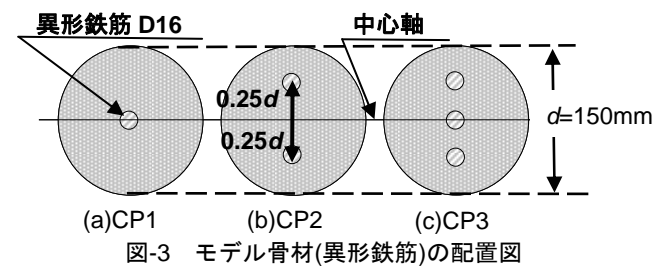
(1)分布板の有無によるひび割れ進展性状の変化

図-5 に、N150、N'150、H150、および H'150 のひび

割れ進展状況,および引張強度を示す.分布板を使用すると,算定される引張強度が増加することが確認できる. N150では,発生後ひび割れが載荷板間で連結するまで0.0109 秒経過したのに対し,N'150では発生から0.431 秒経過しても載荷板間で連結せず,平均的な進展速度はN150と比較して約1/40倍であった.同様に,H150に比較してH'150も約1/115倍の平均ひび割れ進展速度を示した.すなわち,分布板を使用すればひび割れ進展が遅くなると同時に,見かけ上引張強度が高くなっている.しかし,いずれの供試体も供試体の中



(a)分布板なし (b)分布板あり (a)端部摩擦あり (b)端部摩擦なし 図-1 割裂引張試験方法 図-2 一軸圧縮試験方法



モアル首将(乗ル鉄筋)の配置 表-1 示方配合

供試体	W/C (%)	単位量(kg/m³)				
		水	セメント	細骨材	粗骨材	混和剤*
N	50	177	354	820	950	0.7
Н	25	174	720	550	950	3.5

*NにはAE減水剤、Hには高性能減水剤を使用



図-4 実験概要図

キーワード 高速度カメラ, ひび割れ進展, 割裂引張試験, 一軸圧縮試験, 端部摩擦

連絡先 〒152-8552 東京都目黒区大岡山 2-12-1 M1-17

央部にひび割れ発生が確認できた. N150では,最初のひび割れ発生後 0.0109 秒後にひび割れが載荷点に発生した.これは,H150に関しても同様であり,最初のひび割れ発生から 0.00014 秒後に加圧部からの新たな発生が確認できる.以上から,JIS A 1113による試験では,加圧部から供試体の破壊は進行しない. 試験の簡便さも考慮すれば,分布板は不要であるといえる.

(2)鉄筋の配置によるひび割れ進展の変化

図-6に、供試体 NP および CP1~CP3 の割裂引張試験におけるひび割れ発生を示す。図-6(a)から、NP ではひび割れが供試体端面の中心部から発生した。図-6(b)から、CP1 では供試体の中心から 0.35d~0.40d(d:供試体直径)離れた位置にひび割れが発生した。一方、図-6(c)と(d)から、CP2、CP3 では鉄筋とセメントペーストの境界付近でひび割れが発生した。つまり、鉄筋とペースト部の界面部が供試体断面積に対して大きくなると、ひび割れが界面付近で発生しやすくなり、鉄筋の配置によりひび割れ発生位置が変化したと言える。

3. 一軸圧縮試験におけるひび割れ進展評価

3-1. 実験概要

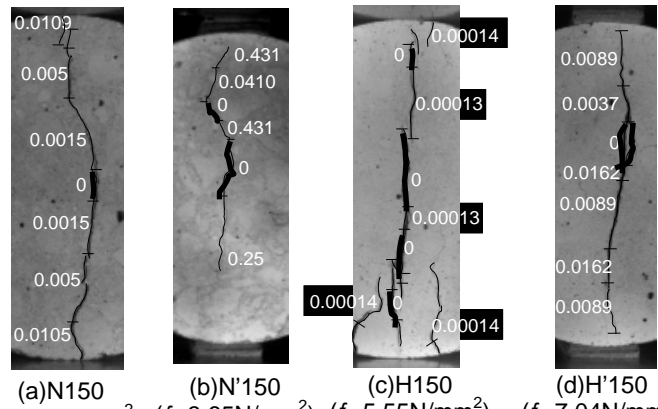
コンクリートの示方配合は、表-1 における W/C=50% の配合と同様である。一軸圧縮試験では、 $\phi100\times200$ mm の円柱供試体を用いた。載荷時の減摩パッドなしの供 試体を CO, 減摩パッドありを COT と称す。なお、2 枚のテフロンシート(厚さ 0.5mm)にグリースを挿入し 減摩パッドとした。撮影速度は $4,000\sim4,500$ fps とした。

3-2. 実験結果

図-7に CO および COT の画像と、載荷後の供試体端面を示す. COT の圧縮強度は、CO に比べて 94.6%に低下した. 図-7 で四角の領域のひび割れに注目すると、COT では図中の太線で示したひび割れが、端部を起点として下方向に進展したことがわかる. CO においても端部に到達しているひび割れは確認できるが、載荷板に向かって進展していること、および端面にひび割れが発生していないことから、端部が起点となったひび割れではない. すなわち、端部摩擦の有無によりひび割れ進展方向が変化し、このことが見かけの圧縮強度にも関連していると推察できる.

4. 結論

(1) 割裂引張試験では、分布板を使用するとひび割れ進展は遅くなり、見かけの引張強度も高くなる. しかし、載荷点のひび割れは供試体の強度低下の原因で



(a)N150 (b)N150 (c)H150 (d)H150 (d)H

図中の数字は太線で示す最初のひび割れ発生からの時間 図-5 分布板の有無および圧縮強度によるひび割れ進展の違い

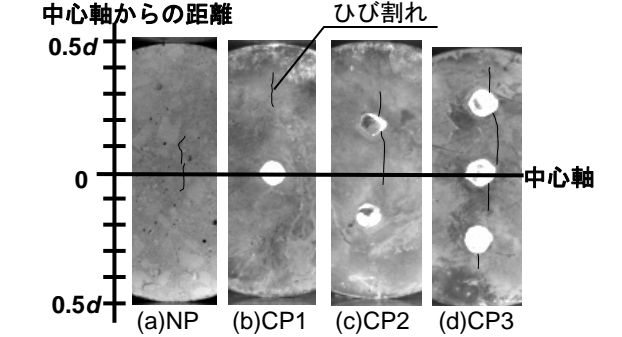
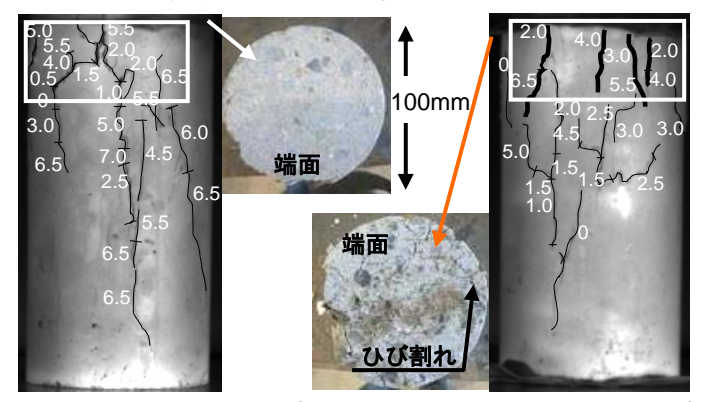


図-6 ひび割れ発生後 0.000011 秒後の NP と CP1~CP3



(a)CO(圧縮強度 31.7N/mm²) (b)COT(圧縮強度 30.0N/mm²) 図中の数字は最初のひび割れ発生からの時間(秒) 図-7 圧縮試験におけるひび割れ図

はなく,試験の簡便さから見て分布板は不要である.

- (2) CP1, CP2, CP3 および NP の割裂引張試験から, 供試体の厚みよりもコンクリートの不均一性によ りひび割れ発生位置が変化すると推察される.
- (3) 一軸圧縮試験において、端部摩擦を減じると圧縮強度が低下する.このとき、端部を起点としたひび割れ発生が確認できた.

参考文献

- 1) 町田篤彦: コンクリートの圧裂試験に関する基礎研究, 土木学会論文報告集, 第 297 号, pp.99~111, 1978.
- Van Mier, J.G.M.: Fracture Process of Concrete, pp.69-80, CRC Press, 1997